



مجلة البصرة للعلوم الزراعية

مجلة علمية محكمة ومفهرسة

ISSN 1817-2695

البريد الإلكتروني: j.agrisci@yahoo.com

تصدر عن كلية الزراعة - جامعة البصرة

المجلد 25

العدد الخاص

2012

رقم الإيداع في المكتبة الوطنية ببغداد 574 لسنة 1988

تأثير تصريف المنفطات ومناورة ملوحة ماء الري في بعض خصائص السترة ونمو نبات الذرة الصفراء *Zea mays L.*

1- حركة الماء في التربة أفقياً وعمودياً

داخل راضي نديوي، علي حمضى ذياب وحسين عبد النبى جويد

قسم علوم التربة والموارد المائية، كلية الزراعة، جامعة البصرة.

الخلاصة. أجريت التجربة في حقل كلية الزراعة / موقع جامعة البصرة / كرمة على خلال الموسم الربيعي 2009 م على تربة طينية ، لدراسة تأثير استخدام التناوب في معدل تصريف المنفطات وملوحة ماء الري تحت نظام الري بالتنقيط على حركة الماء أفقياً وعمودياً . تم استخدام تصريفين للمنفطات (التصريف الواطئ) (L) $2.0 \text{ h}^{-1} \text{ L}$ والتصريف العالمي (H) $10 \text{ h}^{-1} \text{ L}$ ، ومعاملتين مياه الري (مياه منخفضة الملوحة (F) تتراوح ملوحتها بين $2.0 - 2.2 \text{ dS m}^{-1}$ ، ومياه مرتفعة الملوحة (S) تتراوح ملوحتها بين $5.5 - 6.0 \text{ dS m}^{-1}$. وقد طبقت في معاملات عاملية لتوافق مختلفة من معاملات تصريف المنفطات ونوعية ملوحة ماء الري وعددها 9 معاملات كدورات تناوب احادية وثلاثية ورباعية وقامت الى مجموعتين رئيستين ، الأولى والتي تنتهي دورتها بالتصريف الواطئ وتشتمل SL - FL ، SL - 2 SL - FL ، 3 SL - FL ، SL - FH ، SL - FH ، 2 SL - SH ، 3 SL - FH ، SL - SH . تم استخدام مستوى ري 100% EP مع اضافة 20% كميات زرع وأن الفرق بين الريات تحدد عندما تقدر التربة 25% من محتواها الرطبوبي عند السعة الحالية . استخدم تصميم القطاعات العشوائية الكاملة (R.C.B.D) بثلاث مكررات . يبيّن نتائج الدراسة أن مسافة تقدم جبهة الترطيب الأفقية والعمرودية تزداد بزيادة تصريف المنفطات ونسبة استخدام المياه منخفضة الملوحة في الدورة الواحدة . ويمكن وصف حركة تقدم جبهة الترطيب الأفقية والعمرودية من مصدر التنقيط اعتماداً على معادلتي Philip(1955 b) ، Philip(1957 b) . إن ارتفاع ملوحة ماء الري ادى الى خفض جبهة التقدم لحركة الماء بالاتجاه العمودي و الأفقي . بينما استخدام اسلوب التناوب بين المياه منخفضة ومرتفعة الملوحة وبالتناوب التصريف الواطئ في بداية الدورة والتصريف العالمي في نهاية دورة الري قلل من تأثير ملوحة ماء الري في خفض قم تقدم جبهة الترطيب العمودية والأفقية وكثافة المعاملات .

البحث مسئلٌ من رسالة ماجستير للباحث الأول

المقدمة

يعتبر التوسيع الأفقي والعمرودي في الزراعة لتأمين الغذاء اللازم مرتبطة في توفير كميات إضافية من مياه الري ، إلا أن محدودية مصادر المياه العذبة (FAO,1990) يستوجب البحث عن مصادر مياه بديلة لاستغلالها في الزراعة ، لذا اتجهت العديد من الدراسات الحالية في دول العالم و من ضمنها العراق الى استخدام مياه ذات نوعية قليلة الجودة مثل المياه الجوفية المالحة و المياه البرinz و المياه الصرف الصحي بعد أجزاء بعض التحسينات عليها . وبما أن نظام الري بالتنقيط من أهم مميزاته هي الإبقاء على المنطقة المحيطة بالجذور رطبة دائماً وأن توفر هذه الحالة

يعتمد على خصائص التربة وعلى المسافة بين المنقطات وتصريف المنقطات (الشدو 1989) . لاحظ Brandt (1977) إن استعمال المنقطات ذات التصريف الواطئ يؤدي إلى زيادة الرطوبة في مقدمة التربة بالاتجاه السقيستي متزنة مع الاتجاه الأفقي ، ولكن عند استخدام المنقطات ذات التصريف العالي يحدث العكس وذلك بـمسافة نفس كمية مياه الري ، وفي الترب الطينية وجدوا أنه بزيادة معدل إضافة المياه تزداد الحركة الأفقية مقارنة بالحركة العمودية . في تربة ذات نسجه مزيج طينية غرينية في منطقة أبي غريب وباستخدام منقطات ذات تصريف $h^{-1} = 1$ تم التوصل إلى أن حركة الماء أفقياً وعمودياً تكون متقاربة في حالة التشغيل لمدة 1 - 3 سنتة مع استمرار إضافة الماء (Suleiman et al., 1982) والتي يمكن ايجادها رياضياً بالمعادلة التالية :

$$X = 0.78 + 8.43 t^{1/2} \quad (1)$$

$$Y = 0.78 + 11.86 t^{1/2} \quad (2)$$

١- نعم جهة الترطيب الأفقي (سم)

٢- نعم جهة الترطيب العمودية (سم)

٣- الزمن (ساعة)

ووجد العogramji والبياتي (1989) زيادة المحتوى الرطوي للترية بالاتجاه الأفقي عند استخدام سنتات ذات تصارييف عالية ، $3.84, 4.04, 4.12, 4.23 h^{-1}$ إذ بلغت الرطوبة 11 % عند المسافة 25 سم من المنتصف ضمن العمق 20 سم بينما كانت 7 % عند نفس البعد المذكور للمنقطات ذات التصريف $1.89 h^{-1}$ وعزى ذلك إلى زيادة الحركة الأفقية للمياه عند زيادة تصريف المنقط مقارنة بالحركة العمودية . سهـ كسي (1998) ارتفاع المحتوى الرطوي عند مصدر التقطيف وانخفاضه بالأبعاد عنه عمودياً وأفقياً لجميع سلالات الدراسة خلال عملية الري ويستخدم منظومة الري بالتنقيط في تربة رملية مزيجية في منطقة الزبير وإن هذا الارتفاع يزيد بزيادة مستوى الري للمستويين 100% و 60% من حوض التبخير الأمريكي ، وذكر إن قيمة المحتوى الرطوي بعد 24 ساعة من إيقاف الري كانت قريباً من حدود السعة الحقلية 75%. وكما بين Li, et al (2004) . أمكانية تفسير حركة الماء بالترية تحت نظام الري بالتنقيط باستخدام معادلات تجريبية توضح العلاقة بين قطر المساحة المطححة المبئنة و العمق المبئن من جهة و تصريف المنقط خلال فترة زمنية معينة ، وكما يلي:

$$r = 13.4 (q * t)^{0.33} \quad --- \quad (13)$$

$$z = 10.1 (q * t)^{0.44} \quad --- \quad (14)$$

حيث إن :-

١- نصف قطر المساحة السطحية المبئنة (سم)

٢- تصريف المنقط (لتر / ساعة)

٣- الفترة الزمنية (دقيقة)

٤- العمق المبئن (سم)

لقد حصل خلف (2006) على نتائج توضح بأن قطر المنطقة المبئنة في تربة مزيجية غرينية يعتمد على تصريف المنقط ، إذ بلغ قطر الإبتلاء 60,46,40 سم للمناطق التي تصريفها $2,3, h^{-1}$. وفي دراسة على تربة طينية مزيجية في أبي غريب لتحديد التوزيع الرطوي الوزني الأفقي وعمودياً من مصدر التقطيف في مقدمة التربة ، وجد أن أعلى محتوى رطوي كان عند مصدر التقطيف وينخفض بالاتجاه الأفقي والعمودي بالأبعاد عنه ،

وأن المحتوى الرطبوبي الوزني للتصارييف الثلاثة المستخدمة في الدراسة (5.35 و 4.2 و 3.15 h^{-1} L) كان مرتفعاً في المعاملات التي تم ريها كل ثلاثة أيام مقارنة بالمعاملات التي تم ريها كل خمسة أيام (السعدين 2006). ومن دراسة قام بها الحمد (2007) باستخدام التناوب بين نظامي الري السيعي ونظام الري بالتنقيط تصريف $2 \text{ h}^{-1} \text{ L}$ ومنوجة مياه الري $2.2 \text{ m}^{-1} \text{ dS}$ في تربة طينية زرعت بممحصول الذرة الصفراء بين النتائج طينية التوزيع الرطبوبي لمعاملات التناوب بعد 24 ساعة من الري اذ يلاحظ ان معاملة سيعي - سيعي (SSS) حققت تفوقاً معنوياً على بقية المعاملات (0.24) في حين أظهرت المعاملة تنقيط-تنقيط-تنقيط (DSD) أعلى قيمة بمعدل (0.18)، أما المعاملات تنقيط - تنقيط - سيعي (DDS) وتنقيط-سيجي - تنقيط (DSD) وسيجي - سيجي تنقيط (DSS) فقد كانت قيمة المحتوى الرطبوبي لها بمعدل عام 0.23, 0.22, 0.23 وعلى التوالي وبفارق معنويّة تهدف هذه التجربة الى دراسة حركة الماء افقياً وعمودياً من مصدر التنقيط بتغير تصريف المنتظات وملوحة ماء الري والمناظير بينهما.

المواد وطرائق العمل

نفذت تجربة حقلية في حقل أبحاث محطة كلية الزراعة - جامعة البصرة في موقع كرمة على / محافظة البصرة الواقعة بين دائرتى عرض $31^{\circ} 07' 00''$ شمالي وقوسي طول $46^{\circ} 35' 00''$ شرقاً ، في تربة رسوبية ذات نسجة طينية صنف *Fine clay mixed , calcareous , hyperthermic* شرقاً ، في تربة رسوبية ذات نسجة طينية صنف *typic torrifluvent* (الطب، 2008) . أجري تعديل وتسويه سطح التربة لموقع التجربة ذو مساحة 1625 m^2 (25x65 م). وأجريت عمليات الحراثة المتعمادة بعد إجراء عملية غسل أولى عليها مع التعميم وتسويه سطح التربة باستخدام آلة المعدلان والتعميم اليدوي . بعد اكتمال عمليات الغسل للتربة وأعمال تهيئتها وأعداد التربة ، تم حفر مقد للترابة في موقع الدراسة بالأبعاد $(1 \times 2 \times 1)$ م لأخذ نماذج تربة من الأعماق (0-15)، (15-30)، (30-60) سم وجفت هواياً ومررت من منخل 2 لم لتقدير بعض الصفات الفيزيائية والكيميائية حسب الطرق الموصوفة في (Black , et al 1965) و(Day, 1965) . وكما موضح بالجدول (1).

جدول (1): بعض الخصائص الفيزيائية والكيميائية الأولى للترابة قبل الزراعة وبعض الخواص الكيميائية لمياه الري المستخدمة

عمق التربة (سم)			
60-30	30-15	15-0	
47.3	51.2	58.6	Sand
331.2	326.3	349.1	Silt
621.5	622.5	592.3	Clay
Clay	Clay	Clay	النسبة
0.267	0.340	0.406	معدل القطر الموزون mm
1.315	1.267	1.241	الكتافة الظاهرية Mg m^{-3}
2.650	2.650	2.645	الكتافة الحقيقة Mg m^{-3}
50.4	52.2	53.1	المسامية الكلية %
7.47	7.38	7.45	pH
291.02	321.13	332.43	الكاربونات الكلية g kg^{-1}
1.17	2.96	4.62	المادة العضوية g kg^{-1}
5.38	5.03	5.54	ECe dS m^{-1}
20.05	21.43	20.58	Ca^{++}
12.16	12.94	13.11	Mg^{++}
33.62	42.45	58.39	Na^+
2.69	2.82	1.94	K^+
2.43	2.51	2.73	HCO_3^{-1}
23.22	24.79	21.64	SO_4^{--}
89.92	87.83	96.85	Cl^-
0.00	0.00	0.00	CO_3^{--}
ارتفاع الملوحة			
6.0 - 5.5	2.2 -- 2	EC	مياه الري
7.3 - 7.0	7.2 - 7.1	pH	

تم نصب منظومة الري بالتقسيط بموقع التجربة ومضخة مياه متحركة ذات تصريف (15 $\text{m}^3 \text{h}^{-1}$) على الحوض لغرض رفع المياه ودفعها داخل المنظومة تحت ضغوط متساوية تم السيطرة على الضغوط بواسطة قفل المياه الرا�ع . المسافة بين المناطق المثبتة في الأنابيب الحuelle 25 سم إذ استخدام نوعين من المناطق أحدهما حزروني ذو تصريف 2 L h^{-1} للتصريف الواطئ وعدها 60 منقط على كل حامل مناطق والأخر Turbo key ذو تصريف 10 L h^{-1} للتصريف الواطئ وعدها 60 منقط على كل حامل مناطق . تم غطاء متن متغير حسب برم الغطاء بتصريف 10 L h^{-1} وعدها 60 منقط على كل حامل مناطق . تم تشغيل المنظومة وغيرت لغرض الحصول على التصارييف المطلوبة للمناطق الحزرونية وضمان انتظامية التوزيع .

صممت التجربة باستخدام تصميم القطعات العشوائية الكاملة Randomized Completely Block Design (R.C.B.D) بثلاث مكررات حيث وزعت معاملات التجربة وعدها 9 توزيعا عشوائيا على الوحدات التجريبية (المررز) في كل قطاع ليصبح عدد الوحدات التجريبية الكلية 27 وحدة تجريبية (عدد المعاملات 9 عدد التكرارات 3) .

تم تشغيل المنظومة بإضافة كميات مياه الري المساوية 100% من قيمة التبخر المفاجأة من حوض التبخر الأمريكي صنف - A - (Evaporation pan class A) مع إضافة معامل غسل Leaching قدرة 20% من كمية مياه الري . وقد أعتمدت في جدولة الري استخدام أجهزة التشيبيبرات (Tensiometer) التي وضعت في الوحدات التجريبية لاعمق مختلفة لتحديد أوقات الري اللاحقة ، حيث يتم إجراء الريبة اللاحقة عند استنزاف 25% من المحتوى الرطبوبي عند السعة الحقلية (عندما يبلغ المحتوى الرطبوبي مساوياً لـ 75% من السعة الحقلية لترية التجربة) .

ولسهولة احتساب كمية مياه الري المعطاة بالأمتار المكعبة للوحدات التجريبية تم اعتماد المعادلات التالية:

$$\text{كمية مياه الري (م}^3\text{)} \text{ لكل مرز} = \frac{\text{تبخر من التعرض (مل)}}{1000} \times \text{مساحة المرز (م}^2\text{)}$$

مساحة المرز (الوحدة التجريبية) = طول المرز (م) × عرض المرز (م)

لحساب الزمن اللازم لتشغيل كل خط فرعى وحسب تصريف المقطات المثبتة عليه من خلال المعادلة التالية
 حاجم وياسين، (1990) :-

$$t = \frac{V}{Q \times N} \quad \dots \dots \dots \quad (17)$$

حيث إن :-

t = زمن الري (ساعة)

V = حجم المياه المضافة للوحدة التجريبية (لتر)

Q = تصريف المقط (لتر / ساعة)

N = عدد المقطات في الخط الفرعى

تضمنت الدراسة المعاملات العاملية الآتية :-

1 - عامل عمق الترية وتحضن المستويات التالية :-

عمق الترية (0 - 15) سم ، عمق الترية (15 - 30) سم ، عمق الترية (30 - 60) سم

2 - عامل المسافة الأفقية من مركز المرز وتحضن المستويات التالية :-

0 سم عن مركز المرز (المقط) ، 15 سم عن مركز المرز (المقط) ، 30 سم عن مركز المرز

3 - عامل نوعية مياه الري : - واستخدم نوعان من مياه الري هما

1 - مياه منخفضة الملوحة ذات توصيل كورياني 2 ds.m^{-1} (F) ومرتفعة الملوحة $5.5 - 6 \text{ ds.m}^{-1}$ (S)

باستعمال التناوب في التصريف واطئ 2 لتر / ساعة (L) Low Flow والعلوي 10 لتر / ساعة High Flow

(H)

ب - تم تنظيم التوافق بين عاملين نوعية مياه الري وتصريف المقطات لتكون المعاملات التالية :

- ري بالتنقيط بمياه منخفضة الملوحة والتتصريف الواطي FL

- ري بالتنقيط بمياه منخفضة الملوحة والتتصريف العالى FH

- ري بالتنقيط بمياه مرتفعة الملوحة والتتصريف الواطي SL

- ري بالتنقيط بمياه مرتفعة الملوحة والتتصريف العالى SH

ج - طبق التوافق بين عامل نوعية مياه الري وتصرف المقطلات في دورات تناوب مختلفة وقد اختبرت من صدتها (9) معاملات وهي:

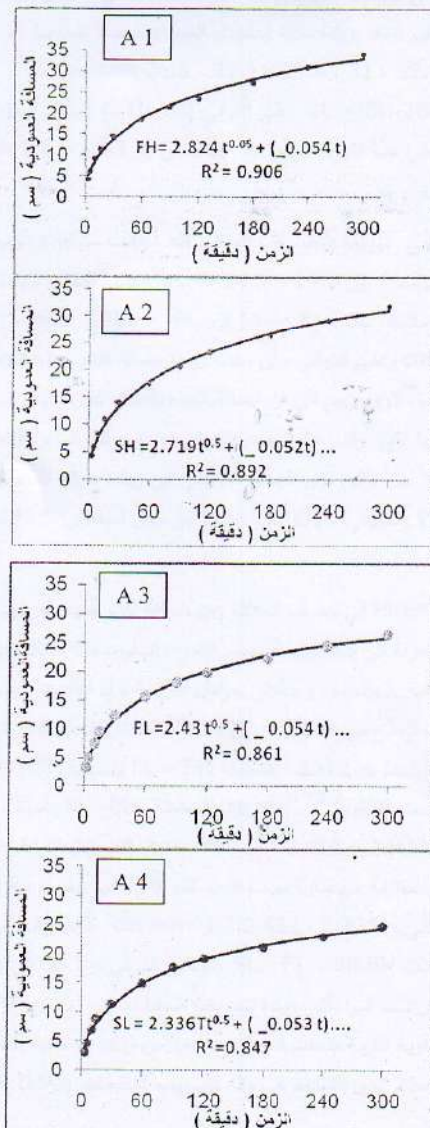
الرمز	نوع المعاملة
FL-FH	الري بالتنقيط عذب واطي - عذب عالي
SL-FH	الري بالتنقيط مالح واطي - عذب عالي
SL-FL	الري بالتنقيط مالح واطي - عذب واطي
2SL-FH	الري بالتنقيط مالح واطي - مالح واطي - عذب عالي
2SL-FL	الري بالتنقيط مالح واطي - مالح واطي + عذب واطي
3SL-FL	الري بالتنقيط مالح واطي - مالح واطي - عذب واطي
3SL-FH	الري بالتنقيط مالح واطي - مالح واطي - عذب عالي
SL-SH	الري بالتنقيط مالح واطي - مالح عالي
SL	الري بالتنقيط مالح واطي

بتاريخ 13/3/2009 تمت زراعة بذور الذرة الصفراء (Zea mays, L) صنف بحوث 106 في الموعد الربيعي ، وعند قياس حركة الماء العمودية والأفقية تم تثبيت شرائح زجاجية ببعاد (1×1) م ذات سمك (6) ملم على جبهة البروپيل منعاً لانهيار التربة وتذكر المياه منها وتم ضخ الماء في خطوط المقطلات وصولاً إلى التصاريف المستخدمة في معاملات التجربة ، ومن ثم سجلت الأوقات الزمنية اللازمة لضخ المياه من كل منقط من مقطلات معاملات التجربة . تم قياس حركة الابتلال الأفقية العمودية خلال زمن تشغيل منقط كل معاملة من معاملات التجربة .

النتائج والمناقشة

١ - حركة الماء العمودية من مصدر التنقيط

يبين الشكل (1) العلاقة بين مسافة تقدم جبهة الترطيب العمودية من مصدر التنقيط والزمن في بداية موسم النمو أذ تم قياس مسافة التقدم باستخدام التصريف العالي و التصريف الواطي ونوعية المياه منخفضة ومرتفعة الملوحة (SL , FL , SH , FH) ، ومنها يتضح عموماً بأن مسافة تقدم جبهة الترطيب العمودية تزداد بزيادة كل من تصريف المقطلات وانخفاض ملوحة ماء الري أذ كانت أقصى مسافة تقدم لجبهة الترطيب هي cm 33.5 ، cm 24.8 ، cm 26.5 ، cm 31.9 .



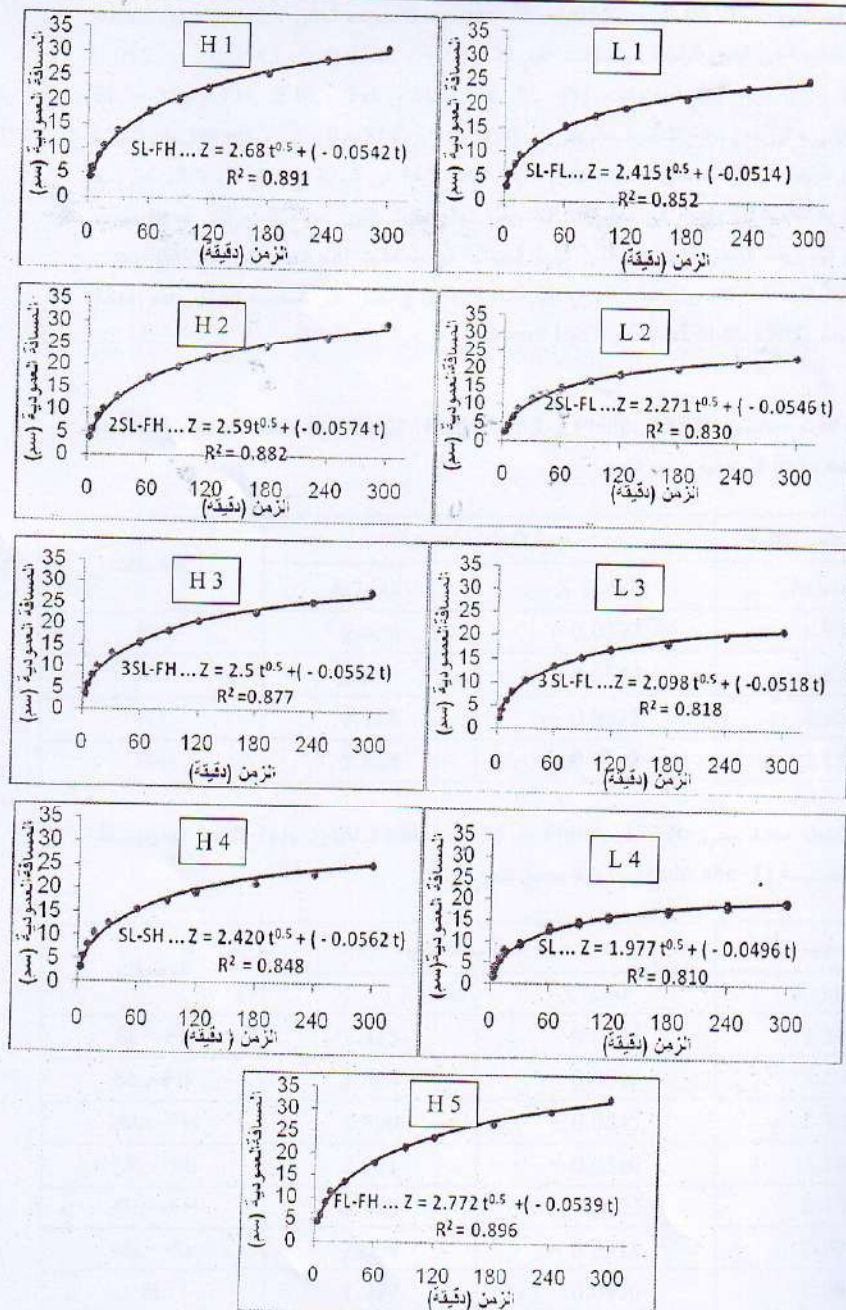
شكل (1) العلاقة بين الزمن ومسافة تقدم جبهة الترطيب العمودية (A) من مصدر التقط للتصريف ونوعية المياه المستخدمة في الري (SL , FL , SH , FH) للمعاملات التجريبية في بداية الموسم

اما في نهاية موسم النمو فقد تم قياس العلاقة بين مسافة تقدم جبهة الترطيب العمودية من مصدر التقط والزمن لكافة المعاملات (شكل 2) ، اذ يتضح ان المعاملات التي تنتهي دورتها بالتصريف العالى قد أعطت أعلى القيم

مسافة تقدم جبهة الترطيب العمودية والتي تراوحت بين 26.8 - 32.7 cm وعلى التوالي خلال زمن القياس (300 دقيقة) ، كما يلاحظ ان القيم تزداد بزيادة نسبة استخدام المياه منخفضة الملوحة ،أذ كانت المسافة العمودية لجبهة الترطيب العمودية بواقع 32.7 ، 29.8 ، 27.5 ، 31 cm 26.8 ، SL - FH ، 3 SL - FH ، SL - SH ، 2SL - FH ، SL - FH ، FL - FH. التقدم عند بداية موسم النمو يلاحظ انخفاض هذه القيم اذ تراوح هذا الانخفاض بين 2.8 cm - 5.1 cm للمعاملات SL - SH و FL - FH وعلى التوالي .

اما بالنسبة للمعاملات التي تنتهي دورتها بالتصريف الواطئ فقد أعطت مسافة ترطيب عمودية أقل مقارنة بالتصريف العالى (شكل 1) اذ تراوحت بين 19.6 - 24.5 cm . وأن القيم تتضمن بزيادة نسبة استخدام المياه مرتفعة ملوحة في نهاية الدورة للمعاملات SL - FL ، 2SL - FL ، 3 SL - FL ، SL - FH ، 2SL - FH ، 3 SL - FH ، SL - SH ، 2SL - SH ، 3 SL - SH ، SL - FH ، FL - FH . فقد كانت مسافة الترطيب لزيادة التصريف وانخفاض ملوحة ماء الري يرجع الى ان اضافة المياه بكميات كبيرة يؤدي الى مليء معظم سامات التربة خاصة الكبيرة منها بسرعة اكبر والتي تكون مسؤولة عن زيادة حركة الماء بالاتجاه العمودي ، وزيادة قيمة الأيقالية المائية للتربة فضلاً عن تأثير قوى الجذب الأرضي في زيادة حركة الماء خاصة مع تقدم الزمن (1982 ، Hillel ، الشدود ، 1989 والنعيمي ، 2001) . فضلاً عن كون انخفاض ملوحة ماء الري يؤدي الى تحسين بعض خواص التربة الفيزيائية والكيميائية .

تم استخدام معادلة b Philip في وصف العلاقة بين مسافة تقدم جبهة الترطيب العمودية من مصدر التقطيف والזמן لجميع معاملات التجربة في بداية ونهاية موسم النمو . اوأوضحت النتائج في الشكل (1) ، (2) والجدول (3) بأن قيم عامل التفودية λ والعامل γ يتاثران بعوامل الدراسة ، إذ ارتفعت قيم عامل التفودية بزيادة معدل التصريف وتراوحت التصريف العالى من $2.420 \text{ cm min}^{-1/2}$ - $2.772 \text{ cm min}^{-1/2}$ ، وأنها تتضمن كلما زاد استخدام المياه مرتفعة الملوحة في الدورة الواحدة حيث أعطت المعاملة FH - FL باستخدام 100% مياه منخفضة الملوحة بواقع $2.772 \text{ cm min}^{-1/2}$ وكانت $2.420 \text{ cm min}^{-1/2}$ للمعاملة SL - SH باستخدام 100% مياه مرتفعة الملوحة ، في حين تراوحت من $1.977 \text{ cm min}^{-1/2}$ - $2.415 \text{ cm min}^{-1/2}$ للتصريف الواطئ وازدادت بزيادة استخدام المياه منخفضة الملوحة . عند المقارنة مع بداية موسم النمو فقد كانت قيم عامل التفودية 2.718 و $2.874 \text{ cm min}^{-1/2}$ للتصريف العالى و $2.335 \text{ cm min}^{-1/2}$ للتصريف الواطئ باستخدام المياه منخفضة ومرتفعة الملوحة للمعاملات SL ، FL ، SH,FH وعلى التوالي ، إذ أنها تزداد عموماً بزيادة استخدام المياه منخفضة الملوحة . ويعزى ذلك الى تأثير زيادة تصريف المنقطات في زيادة حركة الماء بالاتجاه العمودي لاسهما عندما تكون الكثافة الظاهرية للتربة منخفضة وما يصاحبها من زيادة المسامية ، فضلاً عن كون مسافة تقدم جبهة الرطوبة العمودية تحت نظام الري بالتنقيط هي دالة لتصريف المنقطات (Aoda و نديوي 1995) .



شكل (2) العلاقة بين تقدم جبهة الترطيب العمودية من مصدر التتفقيط والزمن وباستخدام التصريف المنخفض (L) والعالي (H) في نهاية الموسم

أما العامل λ فقد تراوح بين -0.0539 - -0.0562 $\text{cm min}^{-1/2}$ للتصرف العالي ، وأنخفض بزيادة استخدام المياه مرتفعة الملوحة في الدورة الواحدة حيث كانت القيم -0.0545 ، -0.0542 ، -0.0540 ، -0.0552 ، -0.0562 $\text{cm min}^{-1/2}$ لمعاملات SL - 3SL - FH ، 2SL - FH ، SL - FH ، FL - FH على التوالي ، في حين تراوح للتصرف الواطئ من -0.0496 - -0.0574 $\text{cm min}^{-1/2}$. وان الأشارة السالبة تعكس طبيعة انحدار المنحنى ، حيث تكون حركة الماء سريعة في البداية ومن ثم تقل بشكل كبير مع الزمن . وهذا يلاحظ بشكل واضح في معاملات التصرف العالي حيث تكون حركة الماء أكثر سرعة مقارنة بمعاملات رو التصرف الواطئ لكون خصائص التربة الفيزيائية في معاملات ذات التصرف العالي أكثر تحسن بالمقارنة مع معاملات ذات التصرف الواطئ . ان القيم السالبة للعامل λ تغير غير صحيحة فيزيائيا وهذه النتيجة تتفق مع ما وجده (Ghosh,1982 و Fahad et al, 1982).

جدول (2) ثوابت معادلتي Philip, 1955b و Philip, 1955 لقياس جبهة التقدم العمودية والأفقية (min sec^{-1}) في بداية موسم النمو.

المعاملات	جبهة الترطيب العمودية		جبهة الترطيب الأفقية
	العامل λ	العامل X	العامل λ
FL	2.432	- 0.0537	1.935
SL	2.335	- 0.0544	1.827
FH	2.718	- 0.0528	2.259
SH	2.824	- 0.0542	2.158

جدول (3) ثوابت معادلتي Philip, 1955b و Philip, 1955 لقياس جبهة التقدم العمودية والأفقية (min sec^{-1}) في نهاية موسم النمو

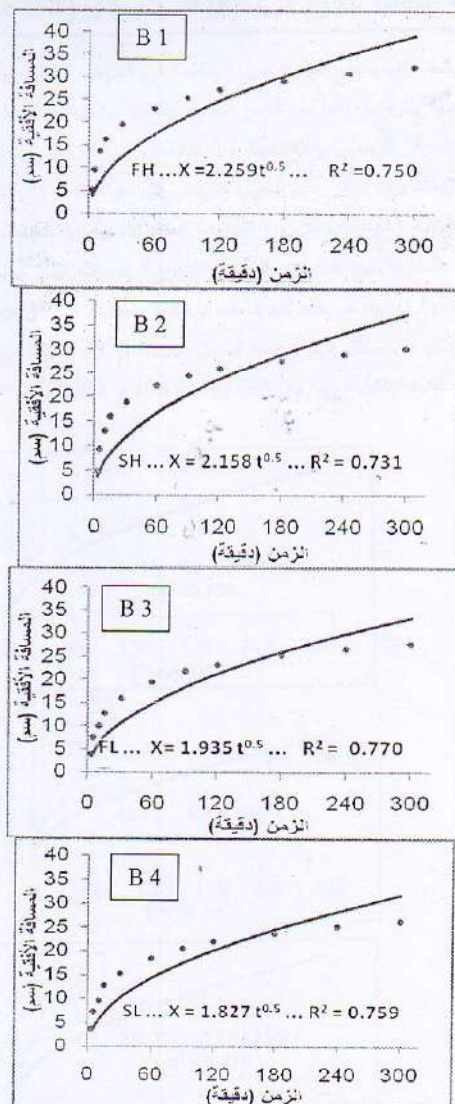
المعاملات	جبهة الترطيب العمودية		جبهة الترطيب الأفقية
	العامل λ	العامل X	العامل λ
SL--FL	2.415	- 0.0574	2.224
SL--FH	2.684	- 0.0542	2.596
2SL--FH	2.590	- 0.0545	2.525
2SL--FL	2.271	- 0.0546	2.146
3SL--FH	2.500	- 0.0552	2.438
3SL--FL	2.098	- 0.0518	2.074
SL	1.977	- 0.0496	1.996
FL--FH	2.772	- 0.0539	2.699
SL--SH	2.420	- 0.0562	2.376

2 - حرارة الماء الأفقية من مصدر التقطيف

يوضح الشكل (4) والجدول (3) العلاقة بين مسافة تقدم جبهة الترطيب الأفقية من مصدر التقطيف والزمن في نهاية موسم النمو . ومنها يتضح عموماً بأن معدل تصريف المنشآت ذو تأثير كبير على مسافة تقدم جبهة الترطيب الأفقية ، أذ يلاحظ عموماً زيادة هذه المسافة بزيادة معدل التصريف . وأن المسافة التي تتحركها جبهة الترطيب أفقياً تكون كبيرة عند التصريف العالي مقارنة مع التصريف الواطي .

أذ ان المعاملات التي تنتهي دورتها بالتصريف العالي (الشكل H) أظهرت أعلى القيم و تراوحت بين 38.9 - 33.8 سم (عند زمن القياس الأقصى 300 دقيقة) ، كما يتضح بأن مسافة الترطيب الأفقية تزداد بزيادة نسبة استخدام المياه منخفضة الملوحة وكانت 38.9 ، 37.3 ، 36.3 ، 34.9 ، 34.8 cm للمعاملات SL - SH ، 3SL - FH ، 2SL - FH ، SL - FH ، FL - FH ، SL - FL ، SL - 2SL - FL ، 3SL - FL ، SL أقل القيم بواقع 28 cm . عند مقارنة مسافة الترطيب الأفقية في نهاية موسم النمو مع بداية (الشكل 3) باستخدام معاملات كل من التصريف العالي والواطئ مع نوعية مياه رى منخفضة ومرتفعة الملوحة (SL ، FL SH ، FH) ، أذ كانت مسافات جبهة الترطيب الأفقية 32.0 ، 30.3 ، 27.8 ، 26.1 cm وعلى التوالي . تم استخدام معادلة (Philip, 1955) في وصف علاقة مسافة تقدم جبهة الترطيب الأفقية من مصدر التقطيف مع الزمن لكافية المعاملات . يوضح الشكل (4) والجدول (2 ، 3) ان معامل التفوذية (λ) يزداد بزيادة التصريف و نسبة استخدام المياه منخفضة الملوحة ، اذ تراوح بين $2.376 - 2.376 \text{ cm min}^{-1/2}$ للتصريف العالي وأعطت المعاملات التالية 3SL-FH,2SL-FH,SL-FH,FL-FH,SL-SH، القيمة بواقع 2.699 ، 2.596 ، 2.525 ، 2.438 ، 2.376 $\text{cm min}^{-1/2}$ على التوالي . في حين تراوحت بين $1.996 - 1.996 \text{ cm min}^{-1/2}$ للتصريف الواطئ وكانت أعلى قيمة بمقدار 2.224 $\text{cm min}^{-1/2}$ SL - FL . وفي بداية موسم النمو كانت قيمة معامل التفوذية للمعاملات SL ، FL ، SH ، FH بواقع 2.259 ، 2.158 ، 1.935 ، 1.827 $\text{cm min}^{-1/2}$ وعلى التوالي . أذ يلاحظ أنها كانت منخفضة مع ما يكفيها للمعاملات في نهاية الموسم وهذا يرجع الى انخفاض الكثافة الظاهرية للتربة نتيجة لعمليات الري .

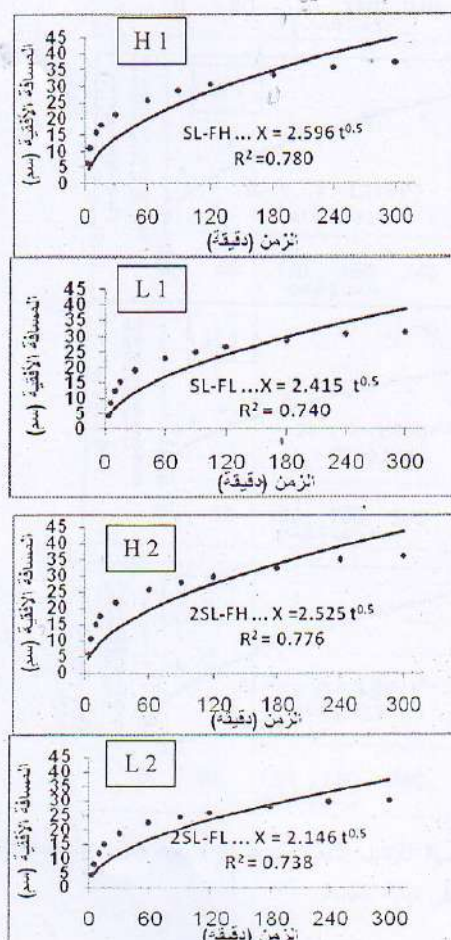
أن زيادة تقدم مسافة جبهة الترطيب الأفقية و العمودية بزيادة كل من تصريف المنشآت و نسبة استخدام المياه منخفضة الملوحة في دورة الري يرجع الى الانخفاض في قيم الكثافة الظاهرية للتربة وزيادة مساميتها ونتيجة لزيادة كفاءة غسل الأملاح في جسم التربة ، فضلاً عن ارتفاع المحتوى الرطوبى في مقد التربة مما ينعكس على زيادة الأيسالية المائية وبالتالي حرقة الماء خلال المسامات الكبيرة نسبياً (Hillel, 1980) .

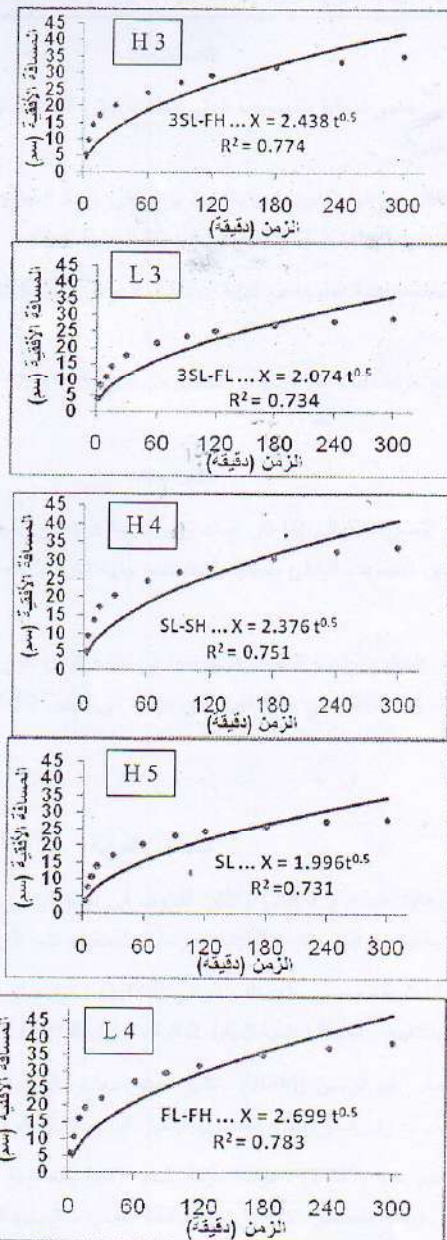


شكل (3) العلاقة بين الزمن ومسافة تقدم جبهة الترطيب والفقية (B) من مصدر التقطيع للتصارييف ونوعية المياه المستخدمة في الري (SL , FL , SH , FH) لمعاملات التجربة في بداية الموسم

كذلك يتضح من النتائج بأن تمثيل البيانات التجريبية باستخدام معادلة Philip, 1955 يكون الأفضل بزيادة كل من تصريف المناطق ونسبة استخدام المياه منخفضة الملوحة من خلال زيادة قيمة معامل التحديد (R^2) .

وهذا قد يرجع الى انحراف بعض القيم التجريبية خاصة في المراحل الاولى من حركة جبعة تقدم رطوبة التربة افقياً اذ ان حركة جبعة الترطيب افقياً مع الزمن تحصل بثلاث مراحل حيث تكون في المرحلة الأولى بسرعة عالية واعتادا على الانحدار الرطوي والانتشاري ، وتنخفض في المرحلة الوسطى ، أما في المرحلة الأخيرة يكون التغير قليلاً جداً وبذلك يزداد تأثير جهد الجذب الأرضي في حركة الماء (Philip , 1957 c) . لذلك تحصل زيادة في قيم عامل الغزوية (λ) بزيادة كل من تصريف المنتجات ونسبة استخدام المياه منخفضة الملوحة (الشدو) ، (1989) . وعند المقارنة بين اطباقية البيانات التجريبية لمسافة تقدم جبعة الترطيب الأفقية و العمودية مع المعادلات المستخدمة في وصف هذه الحركة فقد لوحظ ان معادلة Philip, 1957 اكثراً اطباقاً في وصف حركة الماء العمودية وذلك من خلال ارتفاع قيمة معامل التحديد (R^2) مقارنة مع معادلة Philip, 1955 ذات الحد الواحد . وإن هذه النتيجة تتفق مع ما وجده (الشدو ، 1989 و Li et al., 2004)





شكل (4) العلاقة بين مسافة تقدم جبهة التقطيع الأفقية من مصدر التقطيع والزمن باستخدام التصريف المنخفض (L) والعالي (H) في نهاية الموسم

الاستنتاجات

- 1- ان المعاملات التي تنتهي دورتها بالتصريف العالي اعطت اعلى القيم لمسافة جبهة الترطيب الافقية والعمودية مقارنة بالتصريف الواطئ .
- 2- ان التصريف العالي في نهاية دورة الري بالتنقيط يؤدي الى زيادة المحتوى الرطوبوي وحركة ماء التربة افقياً وعمودياً مما يؤدي الى زيادة كفاءة غسل الاملاح من المنطقة الجذرية للنبات .
- 3- عند استخدام المياه منخفضة الملوحة في نهاية دورة الري ادى الى زيادة الحفاظ على خصائص التربة من تأثير ملوحة مياه الري .
- 4- امكانية تمثيل نتائج حركة الماء افقياً وعمودياً باستعمال معاملتي Philip, 1957, 1955 ومعامل ارتباط عالي المعنوية .

التصنيفات

- 1- نوصي باستخدام التصريف العالي 10 لتر / ساعة في نهاية دورة الري بمياه مرتفعة الملوحة لكونه يؤدي الى غسل الاملاح اكثر من التصريف الواطئ وحملها باتجاه تقدم جبهة الترطيب العمودية والافقية وتخلص التربة منها .
- 2- نوصي عند توفر المياه منخفضة الملوحة استخدامها في نهاية الدورة الري بالتصريف العالي واستخدام المياه مرتفعة الملوحة بالتصريف الواطئ في بداية دورة الري يؤدي الى توفير 50% من المياه العذبة كما في المعاملة SL-FH .

المصادر العربية

- الحمد ، عبد الرحمن داود صالح (2007) . تأثير التناوب في استخدام الري بالتنقيط والري السبكي في بعض خصائص التربة وكفاءة الري بالتر�يب الطينية . رسالة ماجستير ، كلية الزراعة ، جامعة البصرة .
- الدوغرامة جي ، جمال شريف وموسى طه خلف أليبياتي (1989) . توزيع الرطوبية والملوحة والجنس في تربة جيسيمية تروى بالتنقيط . المجلة العلمية للموارد المائية . المجلد 8 (2) : 185 - 195 .
- السعدهون ، جمال ناصر عبد الرحمن (2006) . تأثير بعض معايير الري بالتنقيط في توزيع الماء والأملالح في تربة رسوبية طينية وفي نمو وإنماض محصول الباميا . اطروحة دكتوراه ، كلية الزراعة ، جامعة بغداد .
- الشدوه ، قيسير إبراهيم حمد (1989) . دراسة حركة الماء الأفقيه والعمودية في تربة الزبير الرملية تحت نظام الري بالتنقيط . رسالة ماجستير . كلية الزراعة ، جامعة البصرة . البصرة العراق .
- العطب ، صلاح مهدي سلطان (2008) . التغير في خصائص التربة وتصنيفها لبعض مناطق محافظة البصرة . اطروحة دكتوراه ، كلية الزراعة . جامعة البصرة .
- أنجيبي ، عزوان حسام توفيق (2001) . تقسيم منظومة الري بالرش المحوري في منطقة وسط العراق . رسالة ماجستير ، كلية الزراعة ، جامعة بغداد .

حاجم ، أحمد يوسف و حقي إسماعيل ياسين (1992) . هندسة نظم الري الحقلية. وزارة التعليم العالي والبحث العلمي، جامعة الموصل، كلية الهندسة.

خلف ، موسى طه (2006) . تقييم منظومة الري بالتنقيط من خلال حساب تجانس التوزيع وقطر المنطقة المبتلة : بحث منشور ضمن وقائع الندوة الأولى لواقع المكتنة الزراعية في العراق المقامة في كلية الزراعة . جامعة بغداد للفترة من 22-21 نيسان 2006 .

نديوي ، داخل راضي (1998) . حركة المياه والأملاح في تربة رسمية تحت نظام الري بالتنقيط السطحي وتحت السطحي واستجابة نمو محصول الطماطة . رسالة دكتوراه ، كلية الزراعة ، جامعة البصرة

Aoda , M.I. (1995). Effects of bulk density on horizontal and vertical water infiltration into uniform soil columns . The Iraqi Journal of Agric. Sci. 26(1) : 5-21.

Brandt , A ; E.Bresler ; N.Diner ; I. Ber - Asher ; J. Heller and D. Goldberg. (1971) Infiltration from trickle Source: I . ma the matical models soil . Sci . Soc Amer . proc . 35i . 676 – 682 .

Black , C.A. ; D.D. Evans ; L.E. Ensminger ; J.L. White and F.E. Clark (1965). Methods of soil analysis , part (1) . Agron. No. 9. Am. Soc. Agron., Madison , WI (USA) .

Day , P.R. (1965). Particle fractionation and particle – size analysis . in Black , C.A. et al., Methods of Soil analysis . Part (I) . Agron. No. 9 : 545-566..

Fahad , A.A. ; L.N. Mielke ; A.D. Flowerdy and D.Swartzendruber.(1982) Soil physical properties as affected by soybean and other cropping sequences .Soil Soc. Amer. J.46 :377-381.

FAO , (1990). An International action programmer on water and sustain able agricultural development . Astrategy for the implementation for the mar del plata action plan for the .1990 S, Rome. P. 42 .

Ghosh , R . K . (1983) .A note on infiltration equation . Soil Sc. 136 : 333 – 338 .

Hillel, D.(1982).Introduction to soil physics. Academic press Limited ,24-28 Oval Road ,London.

Li , J. ; J.Zhang and M. Rao (2004) . Wetting patterns and nitrogen distributions as affected by fertigation strategies from a surface point source . Agricultural water management 67 : 89-104.

Philip , J.R. (1957 b). The theory of infiltration . 2- The profile of infinity. Soil Sci. 83 : 435-448.

Philip , J.R, (1957 c). The theory of infiltration. 3- Moisture profiles and relation to experiment . Soil Sci. 84 : 163-178.

Philip , J.R. (1955). Numerical solution of equation of the diffusion type with diffusivity concentration - dependent. Trans. Faraday Soc. 51 : 855-892.

Sulieman , A. D ; K. V Paliwal and R. A. Lateef. (1982). Resalinization of reclaimed lands and Its management .Tech. bull. No.97, SOLR, Iraq. Baghdad.

The Effect of Emitters Discharge and Alternation of Irrigation water Slanity on some properties soil and Growth of Corn plant (*Zea Mays L.*)

1- vertical and horizontal water movement in soil

D .R .Ndewi, A . H .Dheab and H . A .Jawaid

Department of Soil Science and Water Resources, College of Agriculture , University of Basrah, Iraq

Abstract. An experiment was conducted in the field of Agricultural collage , university of Basra , karmat-ALI during the spring season 2009 on clay soil in order to investigate the effect of alternation of emitter discharge of drip irrigation system and irrigation water salinity on vertical and horizontal water movement in soil . Two emitter's discharge were used , Low discharge (L) (2.0 L h^{-1}) and high discharge (H) (10 L h^{-1}). Were used with saline water(S) $5.5-6.0 \text{ Ds m}^{-1}$ and Low saline water (F) $2.0-2.2 \text{ Ds m}^{-1}$ for plant irrigation in the drip system . These treatments were compined together to obtain 9 selective treatmets of:- SL , 3SL - FL ,2SL-FL , SL-SH , 3SL-FH , 2SL-FH ,SL-FH, FL-FH , under irrigation level 100% Epan and leaching requirement of 20% .The experiment was designwas Randomized Block design (R.C.B.D) with three replicates. The indicated the horizontal and vertical wetting front movement in soil profile was increased undr HED's treatments and with increasing the use of low saline irrigation water in irrigation cycles. This has been calctated byusing philip ,1955 , 1957b equations.